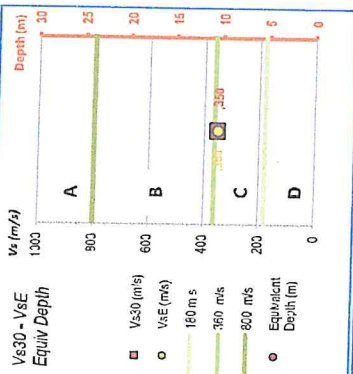


ALLEGATO 3

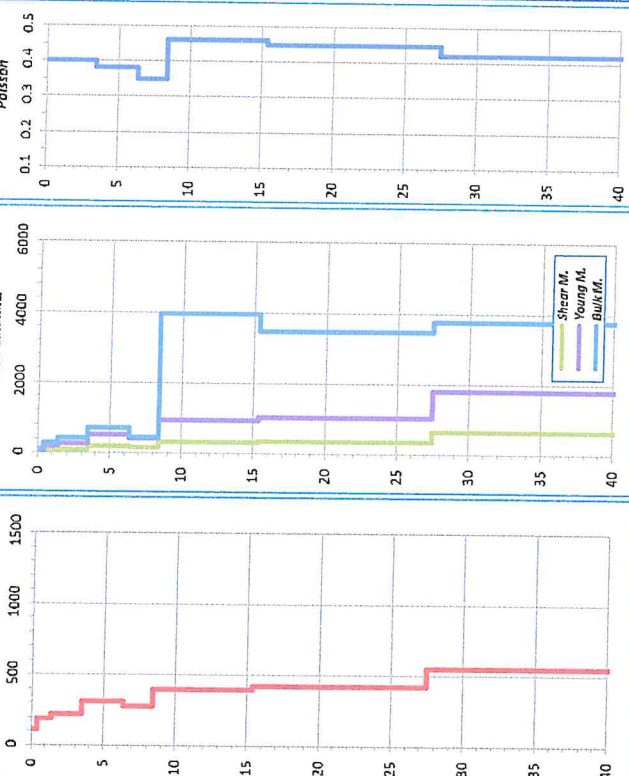
Report dell'indagine sismica MASW

Multichannel Analysis of Surface Waves via Modellazione multicomponente di spettri sintetici

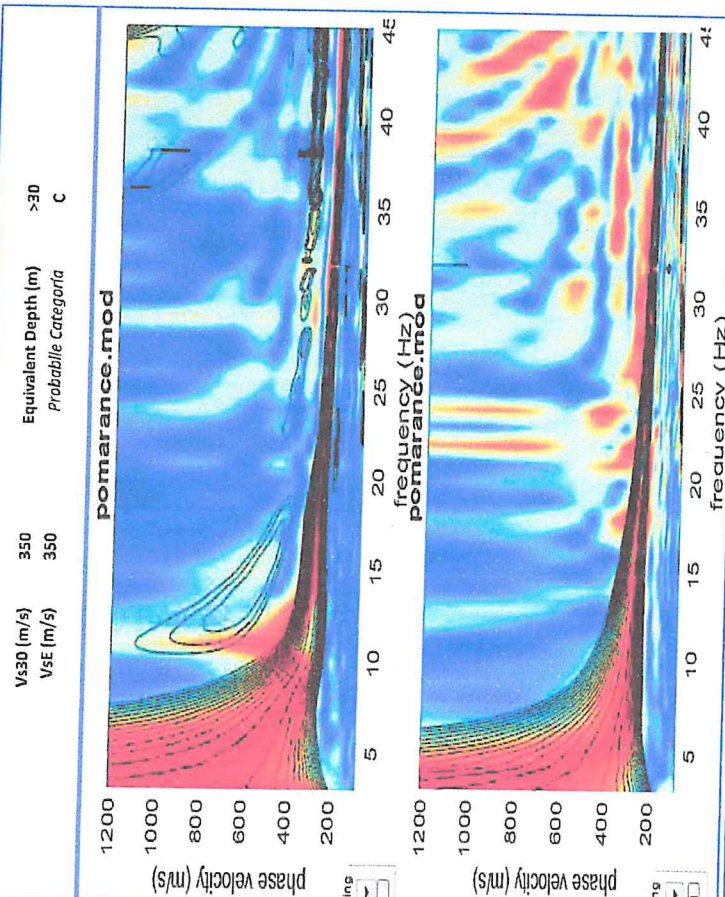
layer	h (m)	top (m)	bottom (m)	Density (g/cm3)	Poisson (adim.)	Vp (m/s)	Shear G* (m/s)	Young E* (m/s)	Bulk M. k* (m/s)
1	0.4	0.0	0.4	1.7	0.400	269	20	57	94
2	1.0	0.4	1.4	1.8	0.400	466	66	184	308
3	2.0	1.4	3.4	1.9	0.400	539	90	252	420
4	3.0	3.4	6.4	2.0	0.380	704	188	520	720
5	2.0	6.4	8.4	1.9	0.350	583	151	409	454
6	7.0	8.4	15.4	2.0	0.460	1470	325	948	3954
7	12.0	15.4	27.4	2.0	0.450	1393	360	1044	3479
8	20.0	27.4		2.1	0.420	1481	638	1813	3777
9									
10									
11									
12									



Committente Bianchi-MESA
 Lavoro Pomarance
 Ubicazione Line1
 configurazione ch 12+12; x=5; m.o.=5
 ricevitori geofoni freq. 4.5Hz
 campionamento 500/1000ms
 durata registrazione 1s
 acquisizione ZVF+THF
 modellazione Rayleigh+Love
 metodo di analisi Full Velocity Spectrum (FVS)
 modello finale pomarance



Poisson assegnato durante la modellazione in base alla tipologia di terreno e per gli strati superficiali: modellato per soddisfare i primi arrivi rifratti (quando visibili); in caso di terreni sciolti saturi, poisson calcolato per soddisfare la condizione $V_p = 1500 \text{ m/s}$.
 Densità calcolata secondo: Gardner, G.H.F., Gardner, L.W., Gregory, A.R., 1974. Formation velocity and density-the diagnostic basic for stratigraphic trap. Geophysics 39, 770-780.



Confronto tra spettri sintetici e sperimentali. Immagine superiore: spettro di velocità di fase delle onde di Rayleigh, componente verticale (ZVF); Immagine inferiore: spettro di velocità di fase delle onde di Love (THF). Scala colore=spettro sperimentale; contouring nero=spettro sintetico.